

Технические спецификации микросборок СОЗУ серии 9000РУ

СОЗУ информационной ёмкостью 4Мбит, 8Мбит, 16Мбит

Многокристальные модули ИМС серии 9000РУ предназначены для чтения, записи и хранения информации в блоках оперативной памяти вычислительных систем специального назначения.

ИМС СОЗУ 9000РУ1У, 9000РУ2У, 9000РУ3У изготавливаются в 64-выводном металлокерамическом корпусе Н18.64-3В, ИМС СОЗУ 9000РУ4У, 9000РУ5У, 9000РУ6У изготавливаются в 64-выводном металлокерамическом корпусе 5134.64-6

Основные характеристики ИМС серии 9000РУ:

- напряжение питания – $U_{CC} = 5.0V \pm 10\%$;
- максимальное напряжение питания в режиме хранения информации – $U_{CCS} = 2.9V$,
для 9000РУ3У - $U_{CCS} = 2.0V$;
- время выбора - $t_{A(CE)} \leq 25ns$;
- допустимое значение потенциала статического электричества – 2000В;
- выходы с тремя состояниями, совместимость с ТТЛ уровнем;
- рабочий температурный диапазон от минус 60°C до плюс 125°C

**Технические спецификации
микросборок СОЗУ серии 9000РУ**

Предельно - допустимые и предельные режимы эксплуатации СОЗУ серии 9000РУ

| Наименование параметра режима, единица измерения | Буквенное обозначение параметра | Предельно- допустимый режим | | Предельный режим | |
|---|---------------------------------------|--------------------------------|------------|------------------|-----------------|
| | | Норма | | Норма | |
| | | не менее | не более | не менее | не более |
| Напряжение питания, В | U_{CC} | 4.5 | 5.5 | -0.5 | 6.0 |
| Входное напряжение низкого уровня, В | U_{IL} | 0 | 0.8 | -0.3 | - |
| Входное напряжение высокого уровня, В | U_{IH} | 2.2 | U_{CC} | - | $U_{CC} + 0.3$ |
| Напряжение, прикладываемое к закрытому выходу, В | U_O | 0 | U_{CC} | -0.3 | $U_{CC} + 0.3$ |
| Выходной ток высокого уровня, мА | I_{OH} | - | $ -2.0 $ | | |
| Выходной ток низкого уровня, мА | I_{OL} | - | 4.0 | | |
| Выходной ток, мА при $U_O \geq U_{CC}$ при $U_O \leq 0$ | I_O | | | - | 20 $ -20 $ |
| Выходной ток, мА при $U_O \geq U_{CC}$ при $U_O \leq 0$ | I_H | | | - | 20 $ -20 $ |
| Длительность фронта, спада входного сигнала, нс | $t_{LH}, t_{HL}^{1)}$ | - | 3.0 | | |
| Емкость нагрузки, пФ | $C_L^{2)}$ | - | 30 | | |

¹⁾ Допускается эксплуатация многокристальных модулей при длительности фронта, спада входного сигнала до 200нс. Динамические параметры многокристального модуля при $t_{LH}, t_{HL} > 3\text{нс}$ не регламентируются.

Допускается проводить контроль динамических параметров при $3\text{нс} < t_{LH}, t_{HL} < 10\text{нс}$ с нормированием изменяющихся при этом параметров временной диаграммы.

²⁾ Допускается эксплуатация многокристальных модулей при емкости нагрузки до 500пФ. Динамические параметры многокристального модуля при $C_L > 30\text{пФ}$ не регламентируются

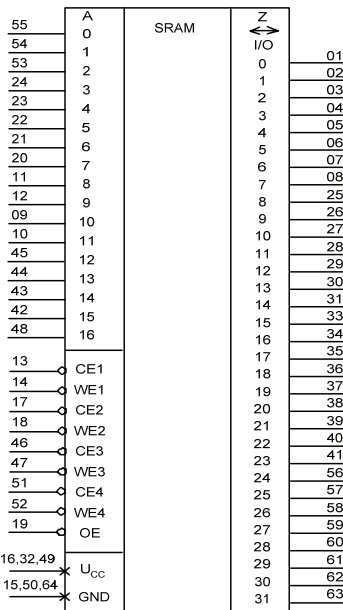
**Технические спецификации
микросборок СОЗУ 9000РУЗУ**

**СОЗУ информационной ёмкостью 4Мбит (128К × 32 бит)
9000РУЗУ**

Многокристальный модуль ИМС 9000РУ1У – СОЗУ с организацией (128К × 32) бит

Таблица истинности

| Режим | Выводы | | | |
|--|---|---|-----------------|-------|
| | \overline{CE}_i ($i = 1 \div 4$) | \overline{WE}_i ($i = 1 \div 4$) | \overline{OE} | I/O |
| Режим хранения /режим пониженного нергопотребления/ | H | X | X | Z |
| Чтение | L | H | L | Выход |
| Запись | L | L | X | Вход |
| Чтение, выход в состоянии "Выключено" | L | H | H | Z |
| Примечания. | L - низкий уровень напряжения; H - высокий уровень напряжения; X - любой уровень напряжения (низкий или высокий); Z - выход в состоянии "Выключено". | | | |
| При $i = 1$ управляются входы/выходы I/O0 - I/O7; | | | | |
| $i = 2$ управляются входы/выходы I/O8 - I/O15; | | | | |
| $i = 3$ управляются входы/выходы I/O16 - I/O23; | | | | |
| $i = 4$ управляются входы/выходы I/O24 - I/O31 | | | | |



Условное графическое обозначение
многокристального модуля 9000РУЗУ

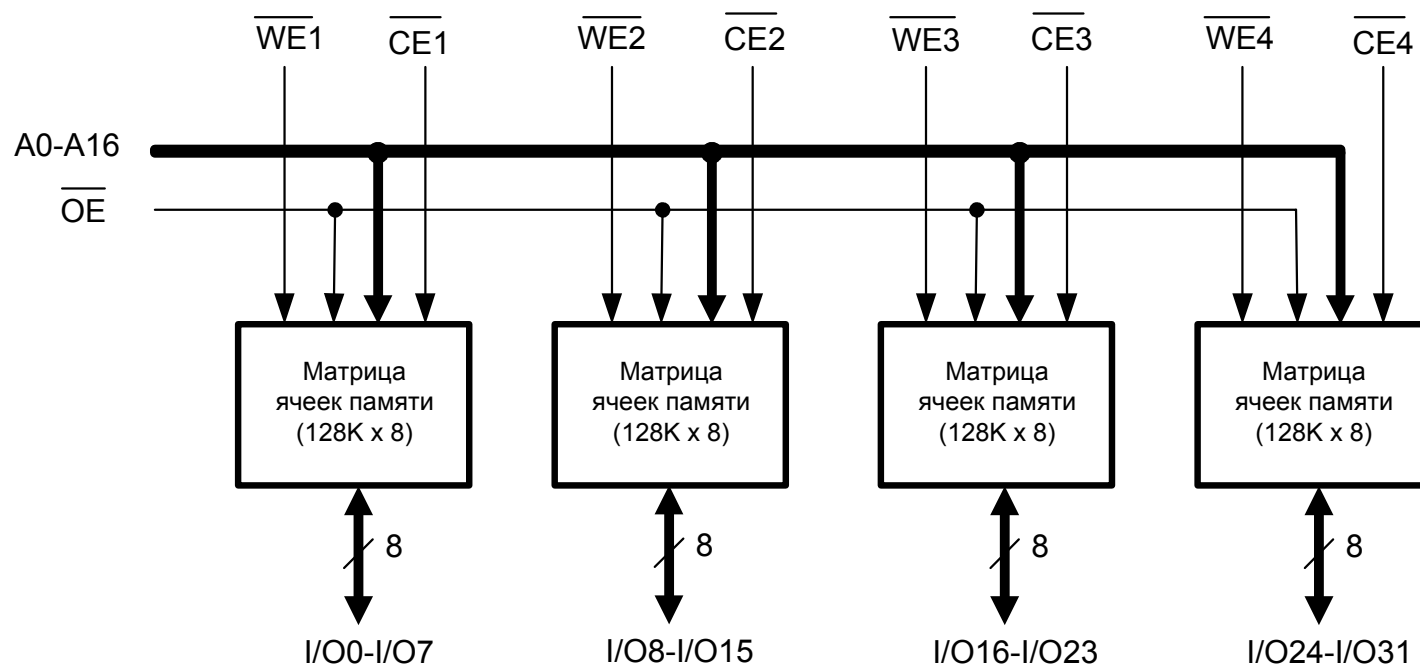
Технические спецификации микросборок СОЗУ 9000РУЗУ

Назначение выводов

| Номер вывода | Обозначение | Назначение |
|--------------|------------------|---|
| 01 - 08 | I/O0 - I/O7 | Входы /выходы информационные |
| 09 - 10 | A10 – A11 | Входы адреса |
| 11 - 12 | A8 – A9 | Входы адреса |
| 13 | $\overline{CE1}$ | Вход сигнала разрешения |
| 14 | $\overline{WE1}$ | Вход сигнала «Разрешение записи» |
| 15 | GND | Общий вывод |
| 16 | U_{CC} | Выход питания от источника напряжения |
| 17 | $\overline{CE2}$ | Вход сигнала разрешения |
| 18 | $\overline{WE2}$ | Вход сигнала «Разрешение записи» |
| 19 | \overline{OE} | Вход сигнала «Разрешение вывода информации» |
| 20 - 24 | A7 – A3 | Входы адреса |
| 25 - 31 | I/O8 - I/O14 | Входы /выходы информационные |
| 32 | U_{CC} | Выход питания от источника напряжения |
| 33 - 41 | I/O15 - I/O23 | Входы /выходы информационные |
| 42 - 45 | A15 – A12 | Входы адреса |
| 46 | $\overline{CE3}$ | Вход сигнала разрешения |
| 47 | $\overline{WE3}$ | Вход сигнала «Разрешение записи» |
| 48 | A16 | Вход адреса |
| 49 | U_{CC} | Выход питания от источника напряжения |
| 50 | GND | Общий вывод |
| 51 | $\overline{CE4}$ | Вход сигнала разрешения |
| 52 | $\overline{WE4}$ | Вход сигнала «Разрешение записи» |
| 53 - 55 | A2 – A0 | Входы адреса |
| 56 - 63 | I/O24 - I/O31 | Входы /выходы информационные |
| 64 | GND | Общий вывод |

Технические спецификации микросборок СОЗУ 9000РУЗУ

Структурная схема



**Технические спецификации
микросборок СОЗУ 9000РУЗУ**

Электрические при приемке и поставке

| Наименование параметра, единица измерения, режим измерения | Буквенное обозначение параметра | Норма параметра | | Температура среды, °C |
|---|---------------------------------------|-----------------|----------|----------------------------|
| | | не менее | не более | |
| 1 | 2 | 3 | 4 | 5 |
| Статические параметры | | | | |
| Выходное напряжение низкого уровня, В при $I_{OL} = 4,0$ мА | U_{OL} | — | 0,4 | $25 \pm 10,$ $-60, 125$ |
| Выходное напряжение высокого уровня, В при $I_{OH} = -2,0 $ мА | U_{OH} | 2,4 | — | |
| Ток утечки низкого уровня на входе, мкА при $U_{IL} = 0$ В | I_{ILL} | — | $ -1,0 $ | 25 ± 10 |
| | | — | $ -5,0 $ | $-60, 125$ |
| Ток утечки высокого уровня на входе, мкА при $U_{IH} = U_{CC}$ | I_{ILH} | — | 1,0 | 25 ± 10 |
| | | — | 5,0 | $-60, 125$ |
| Выходной ток низкого уровня в состоянии «Выключено», мкА при $U_{OZ} = 0$ В | I_{OZL} | — | $ -1,0 $ | 25 ± 10 |
| | | — | $ -5,0 $ | $-60, 125$ |
| Выходной ток высокого уровня в состоянии «Выключено», мкА при $U_{OZ} = U_{CC}$ | I_{OZH} | — | 1,0 | 25 ± 10 |
| | | — | 5,0 | $-60, 125$ |
| Ток потребления в режиме хранения, мА | I_{CCS} | — | 4,0 | $25 \pm 10,$ $-60, 125$ |
| Динамический ток потребления, мА, при $U_{CC} = 5,5$ В; $f_{A0}^* = 1/(2t_{CY(RD)})$; $I_O = 0$ А | I_{OCC} | — | 220 | |
| Динамические параметры цикла чтения ($C_L = 30$ пФ) | | | | |
| Время цикла считывания, нс | $t_{CY(RD)}$ | 25 | — | |
| Время выборки адреса, нс | $t_{A(A)}$ | — | 25 | |

**Технические спецификации
микросборок СОЗУ 9000РУЗУ**

Продолжение таблицы

| | | | | |
|---|------------------------------------|-----|-----|----------------------------|
| Время выбора, нс | $t_{A(CE)}$ | — | 25 | $25 \pm 10,$ $-60, 125$ |
| Время выборки разрешения выхода, нс | $t_{A(OE)}$ | — | 20 | |
| Время сохранения данных при смене адреса, нс | t_V | 4,0 | — | |
| Время задержки распространения при переходе из состояния "Выключено" в состояние высокого, низкого уровня, нс, от входа \overline{CE} к выходам I/O (при $C_L = 5$ пФ) | $t_{PZH(CE)},$ $t_{PZL(CE)} **$ | 3,0 | — | |
| Время задержки распространения при переходе из состояния высокого, низкого уровня в состояние "Выключено", нс, от входа \overline{CE} к выходам I/O (при $C_L = 5$ пФ) | $t_{PHZ(CE)},$ $t_{PLZ(CE)} **$ | — | 7,0 | |
| Время задержки распространения при переходе из состояния высокого, низкого уровня в состояние "Выключено", нс, от входа \overline{OE} к выходам I/O (при $C_L = 5$ пФ) | $t_{PZH(OE)},$ $t_{PZL(OE)} **$ | 3,0 | — | |
| Время задержки распространения при переходе из состояния высокого, низкого уровня в состояние "Выключено", нс, от входа \overline{OE} к выходам I/O (при $C_L = 5$ пФ) | $t_{PHZ(OE)},$ $t_{PLZ(OE)} **$ | — | 5,0 | |
| Динамические параметры цикла записи ($C_L = 30$ пФ) | | | | |
| Время цикла записи, нс | $t_{CY(WE)}$ | 25 | — | $25 \pm 10,$ $-60, 125$ |
| Время удержания адреса относительно сигнала записи, нс | $t_{H(A)}$ | 5,0 | — | |
| Время установления адреса относительно начала записи, нс | $t_{SU(A)}$ | 3,0 | — | |
| Время установления адреса относительно сигнала записи, нс | $t_{SU(A)I}$ | 20 | — | |
| Длительность сигнала выбора, нс | $t_{W(CE)}$ | 17 | — | |
| Длительность сигнала записи, нс | $t_{W(WE)}$ | 17 | — | |
| Время установления данных относительно окончания записи, нс | $t_{SU(D)}$ | 10 | — | |

**Технические спецификации
микросборок СОЗУ 9000РУЗУ**

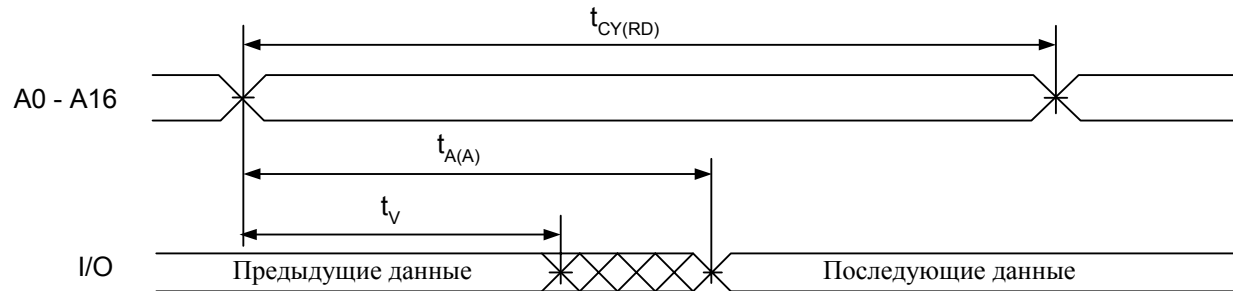
Продолжение таблицы

| | | | | |
|--|--------------------------------------|-----|-----|--|
| Время удержания данных относительно окончания записи, нс | $t_{H(D)}$ | 2,5 | – | |
| Время задержки распространения при переходе из состояния "Выключено" в состояние высокого, низкого уровня, нс, от входа \overline{WE} к выходам I/O (при $C_L = 5 \text{ пФ}$) | $t_{PZH(WE)},$ $t_{PZL(WE)}^{**}$ | 3,0 | – | |
| Время задержки распространения при переходе из состояния высокого, низкого уровня в состояние "Выключено", нс, от входа \overline{WE} к выходам I/O (при $C_L = 5 \text{ пФ}$) | $t_{PHZ(WE)},$ $t_{PLZ(WE)}^{**}$ | – | 5,0 | |
| Примечание – Режимы измерения электрических параметров приведены в таблицах 2, 3. | | | | |

* f_{A0} – частота сигнала, подаваемого на A0.

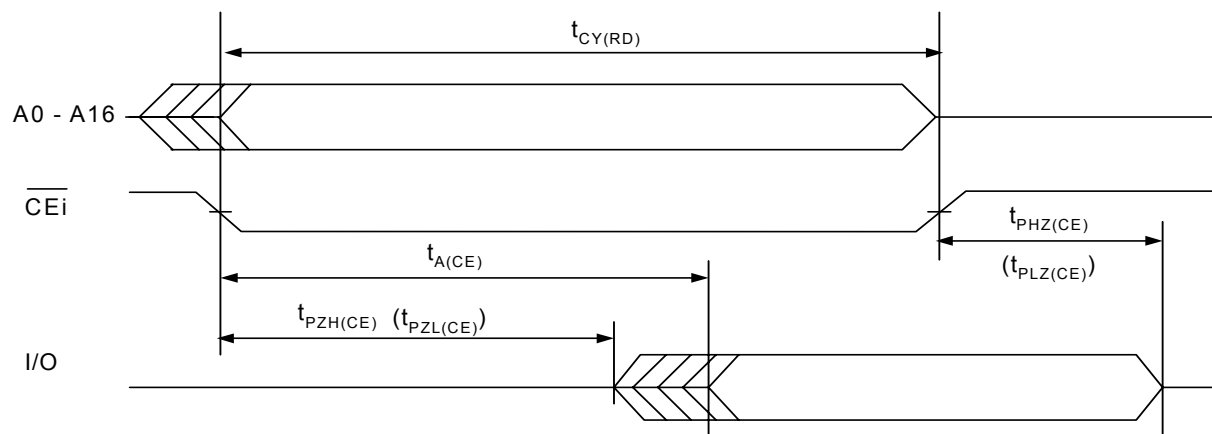
** Динамические параметры $t_{PZH(CE)}$, $t_{PZL(CE)}$, $t_{PHZ(CE)}$, $t_{PLZ(CE)}$, $t_{PZH(OE)}$, $t_{PZL(OE)}$, $t_{PHZ(OE)}$, $t_{PLZ(OE)}$, $t_{PZH(WE)}$, $t_{PZL(WE)}$, $t_{PHZ(WE)}$, $t_{PLZ(WE)}$ не контролируются, так как их значения обеспечиваются проведением ФК на максимальной частоте

Технические спецификации микросборок СОЗУ 9000РУЗУ



Временная диаграмма работы в режиме чтения

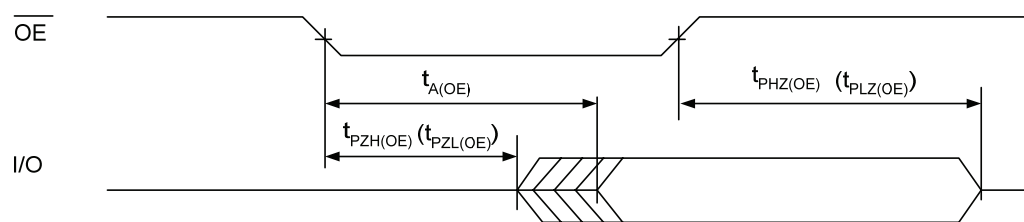
(контроль по A0 – A16, $\overline{OE} = \overline{CE}_i = U_{IL}$, $\overline{WE}_i = U_{IH}$ ($i = 1 \div 4$) в течение цикла чтения)



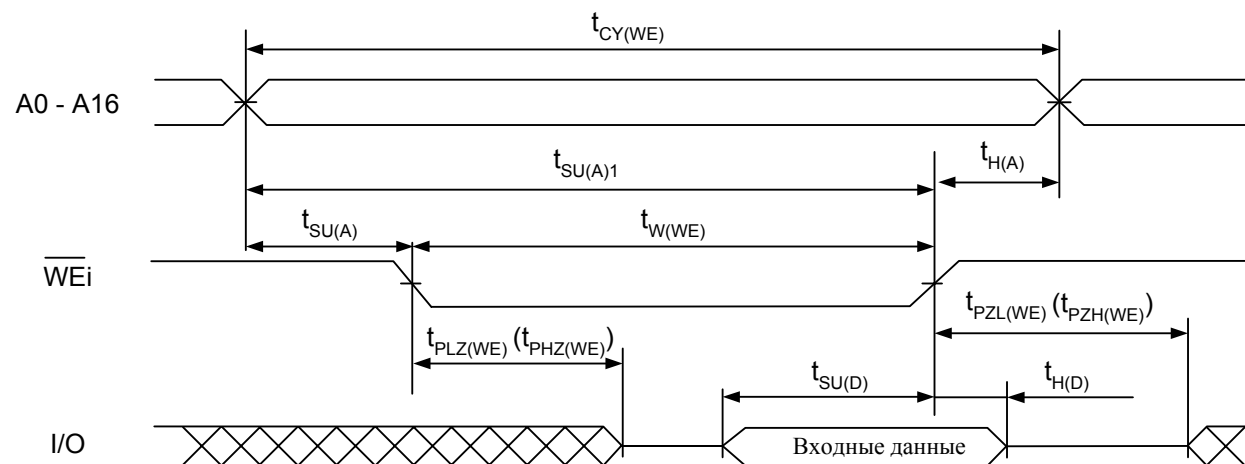
При $i = 1$ управляются входы/выходы I/O0 - I/O7;
 $i = 2$ управляются входы/выходы I/O8 - I/O15;
 $i = 3$ управляются входы/выходы I/O16 - I/O23;
 $i = 4$ управляются входы/выходы I/O24 - I/O31.

Временная диаграмма работы в режиме чтения (контроль по \overline{CE}_i , $\overline{WE}_i = U_{IH}$ ($i = 1 \div 4$), $\overline{OE} = U_{IL}$)

Технические спецификации микросборок СОЗУ 9000РУЗУ



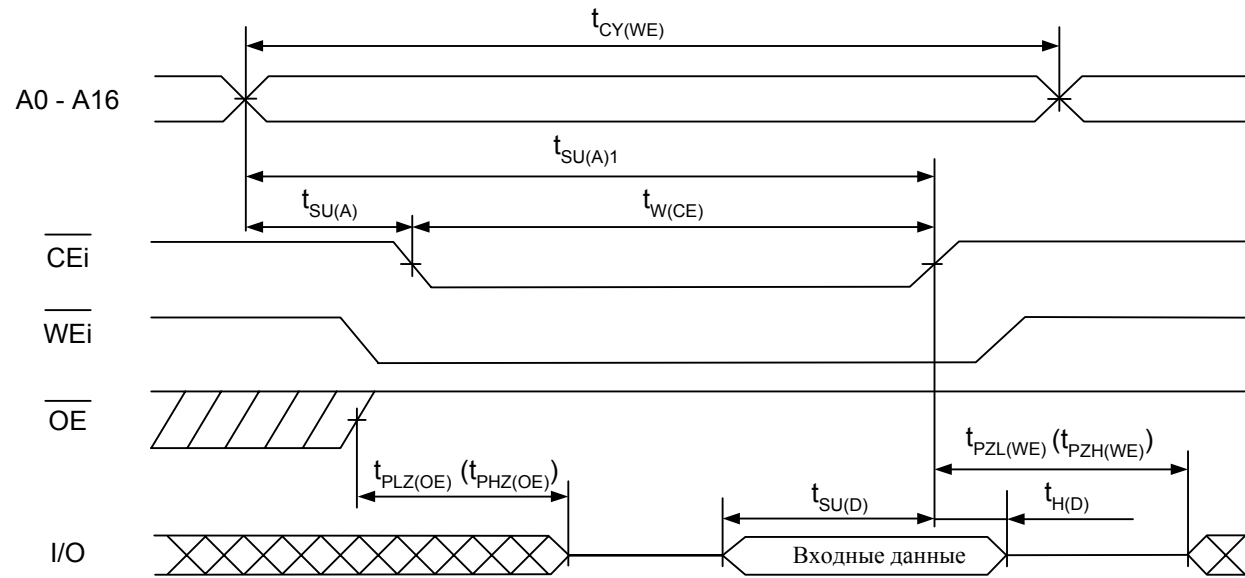
Временная диаграмма работы в режиме чтения (контроль по \overline{OE} , $\overline{WE}_i = U_{IH}$, $\overline{CE}_i = U_{IL}$ ($i = 1 \div 4$)



При $i = 1$ управляются входы/выходы I/O0 - I/O7;
 $i = 2$ управляются входы/выходы I/O8 - I/O15;
 $i = 3$ управляются входы/выходы I/O16 - I/O23;
 $i = 4$ управляются входы/выходы I/O24 - I/O31.

Временная диаграмма работы в режиме записи по \overline{WE}_i ($\overline{CE}_i = \overline{OE} = U_{IL}$ ($i = 1 \div 4$))

**Технические спецификации
микросборок СОЗУ 9000РУЗУ**



При $i = 1$ управляются входы/выходы I/O0 - I/O7;
 $i = 2$ управляются входы/выходы I/O8 - I/O15;
 $i = 3$ управляются входы/выходы I/O16 - I/O23;
 $i = 4$ управляются входы/выходы I/O24 - I/O31.

Временная диаграмма работы в режиме записи по \overline{CE}_i ($\overline{OE} = U_{in}$)